

ХИМИЧЕСКИЙ СОСТАВ ПРОДУКТОВ ОКИСЛИТЕЛЬНОЙ ДЕСТРУКЦИИ ОРГАНИЧЕСКОЙ МАССЫ ШУНГИТОВОЙ ПОРОДЫ ЗАЖОГИНСКОГО МЕСТОРОЖДЕНИЯ КАРЕЛЬСКОГО ЗАОНЕЖЬЯ

© В.В.Платонов, А.А.Хадарцев, А.Ю.Швыкин,
Д.В.Прокопченков, В.А.Проскураков, Т.В.Честнова

Тулский государственный педагогический университет им. Л.Н.Толстого
Тулский государственный университет
Санкт-Петербургский государственный технологический институт

Поступило в Редакцию 25 апреля 2006 г.

Действием различных реагентов выполнена окислительная деструкция органической массы шунгитовой породы Зажогинского месторождения Карельского Заонежья. Состав полученных продуктов изучен методами ИК Фурье спектроскопии и хромато-масс-спектрометрии. Набор идентифицированных соединений отражает строение и происхождение макромолекулярной сетки и подвижной фазы шунгита.

Окислительная деструкция достаточно широко используется для установления особенностей химического состава и структурной организации макромолекул различных каустобнолитов [1–9]. В данном сообщении приводятся результаты изучения химического состава органической массы (ОМ) шунгитовой породы (ШП) Зажогинского месторождения Карельского Заонежья с привлечением метода окислительной деструкции под действием различных реагентов.

Экспериментальная часть

Исходную ШП, размолотую в шаровой мельнице до 70–90 мкм, загружали в емкость из фторопласта и в течение 6 ч при 20°C тщательно перемешивали с 40%-ной фтороводородной кислотой. Полученную массу методом декантации многократно промывали дистиллированной водой до pH ~7, фильтровали под вакуумом на воронке Бюхнера, сушили до постоянной массы при 100°C, после чего методом термогравиметрии в полученном продукте, обогащенном ОМ, определяли содержание ОМ ШП. Согласно данным элементного анализа в результате обработки исходной ШП водным раствором HF содержание ОМ ШП в обогащенной ШП по сравнению с исходной увеличилось с 30.21 до 82.00 мас%. Элементный состав ОМ ШП (мас% daf): С 95.45, Н 0.30, N 0.60, O+S 3.65.

Окисление ОМ ШП щелочным раствором пероксодисульфата аммония проводили следующим образом. В трехгорлую колбу емкостью 100 мл с механической мешалкой и термометром загружали 10 г обогащенной ШП и 50 мл водного раствора NaOH (16 мас%). Полученную суспензию нагревали до 60°C при интенсивном перемешивании, после чего к ней через третье горло колбы небольшими порциями добавляли 5 г сухого $(\text{NH}_4)_2\text{S}_2\text{O}_8$. При этом наблюдалось

интенсивное вспенивание реакционной массы вследствие выделения аммиака и кислорода. Через 1 ч температуру повышали до 90°C, добавляли еще 5 г $(\text{NH}_4)_2\text{S}_2\text{O}_8$ и перемешивали при 90°C в течение 2 ч, после чего к реакционной смеси добавляли третью порцию $(\text{NH}_4)_2\text{S}_2\text{O}_8$ (5 г). После этого реакционную массу при перемешивании выдерживали при 90°C еще 3 ч, затем охлаждали до комнатной температуры, фильтровали под вакуумом на фильтре Шотта № 4, промывали остаток обогащенной ШП дистиллированной водой до нейтральной реакции, сушили в вакуумном шкафу до постоянной массы и взвешивали. Масса полученного остатка составила 8.50 г.

Фильтрат коричневого цвета, объединенный с промывными водами, четырежды экстрагировали в делительной воронке дихлорметаном (ДХМ) (4×50 мл). Объединенные экстракты сушили над безводным MgSO_4 , после чего растворитель отгоняли на водяной бане. Остаток растворяли в небольшом количестве хлороформа, количественно переносили во взвешенный бюкс, после чего CHCl_3 удаляли в сушильном шкафу при 70°C. Полученный экстракт сушили в вакуумном шкафу до постоянной массы и взвешивали. Выход ДХМ экстракта составил 0.04 мас% от ОМ ШП.

Оставшийся фильтрат красно-бурого цвета подкисляли HCl с массовой долей 34.6% до pH 2–3. При этом наблюдалось интенсивное выделение CO_2 , а раствор приобрел светло-бурю окраску. Его упаривали досуха на водяной бане, полученный остаток тщательно перетирали в агатовой ступке с ацетоном и выдерживали в закрытом бюксе 3 ч. Ацетоновый экстракт темно-оранжевого цвета отделяли декантацией, твердый остаток дополнительно экстрагировали 2 раза ацетоном при температуре кипения послед-

него в колбе с обратным холодильником. Из объединенных ацетоновых экстрактов отгоняли ацетон. Полученный коричнево-бурый остаток растирали в бюксе со смесью ДХМ и диэтилового эфира (Et_2O) (1:1 об.). При этом наблюдалось его частичное растворение. Раствор отделяли от осадка декантацией, количественно переносили во взвешенный бюкс и упаривали до постоянной массы. Выход ДХМ- Et_2O вытяжки светло-желтого цвета из ацетонового экстракта составил 1.07 мас% ОМ ШП. Коричнево-бурый остаток ацетонового экстракта, нерастворимый в смеси ДХМ- Et_2O , сушили в вакуумном шкафу до постоянной массы. Его выход на ОМ ШП составил 7.77 мас%. Для выполнения хромато-масс-спектрометрии (ХМС) ДХМ- Et_2O вытяжку из ацетонового экстракта и его остаток подвергали метилированию эфирным раствором диазометана.

Все полученные продукты были исследованы методами ИК Фурье-спектроскопии и хромато-масс-спектрометрии [10–14].

При окислении ОМ ШП азотной кислотой в трехгорлую колбу емкостью 50 мл с механической мешалкой, термометром и капельной воронкой помещали 10 г обогащенной ШП и через капельную воронку при осторожном перемешивании постепенно добавляли 23 мл водного раствора HNO_3 с массовой долей 50%. После добавления HNO_3 реакционную смесь при интенсивном перемешивании медленно нагревали до 60°C и выдерживали при этой температуре 3 ч. При этом наблюдалось небольшое вспенивание реакционной массы и выделение оксидов азота. Через 3 ч реакционную смесь охлаждали до комнатной температуры и фильтровали на фильтре Шотта № 4. Остаток обогащенной ШП многократно промывали дистиллированной водой до pH ~ 7 , высушивали до постоянной массы и взвешивали. Его масса составила 8.25 г.

Фильтрат на водяной бане упаривали досуха с получением твердого продукта оранжево-бурого цвета. Его тщательно растирали в агатовой ступке с хлороформом, смесь количественно переносили в бюкс с притертой крышкой и оставляли при комнатной температуре на 3 сут. Затем хлороформный раствор желтого цвета декантацией отделяли от нерастворившегося твердого остатка, последний дважды декантацией промывали хлороформом и из объединенных хлороформных вытяжек отгоняли растворитель на водяной бане. Окончательно экстракт сушили в вакуумном шкафу до постоянной массы. Выход хлороформного экстракта составил 0.16 мас% от ОМ ШП. Для выполнения ХМС полученный экстракт метилировали эфирным раствором диазометана, что вызвало появление характерного запаха сложных эфиров карбоновых кислот. Продукты метилирования растворяли в ДХМ, полученный раствор выпаривали с получением игольчатых кристаллов желтого цвета, для которых были выполнены ИК Фурье-спектроскопия и ХМС [10–14].

Для окисления ОМ ШП перманганатом калия в щелочной среде в трехгорлую колбу емкостью 50 мл с механической мешалкой, обратным холодильником и термометром вносили 12 г обогащенной ШП, 12 г KMnO_4 и 50 мл 6 м. водного раствора NaOH . Реакционную смесь при умеренном перемешивании нагревали до 90°C и затем продолжали перемешивать при этой температуре в течение 3 ч. По истечении указанного времени реакционную смесь охлаждали до комнатной температуры, фильтровали под вакуумом на фильтре Шотта № 4, промывали остаток обогащенной ШП дистиллированной водой до нейтральной реакции, сушили в вакуумном шкафу до постоянной массы и взвешивали. Масса полученного остатка составила 11.52 г. Фильтрат темно-оранжевого цвета нейтрализовали 3 м. HCl до pH ~ 7 . Раствор приобрел желтый цвет, и выпал желтый осадок.

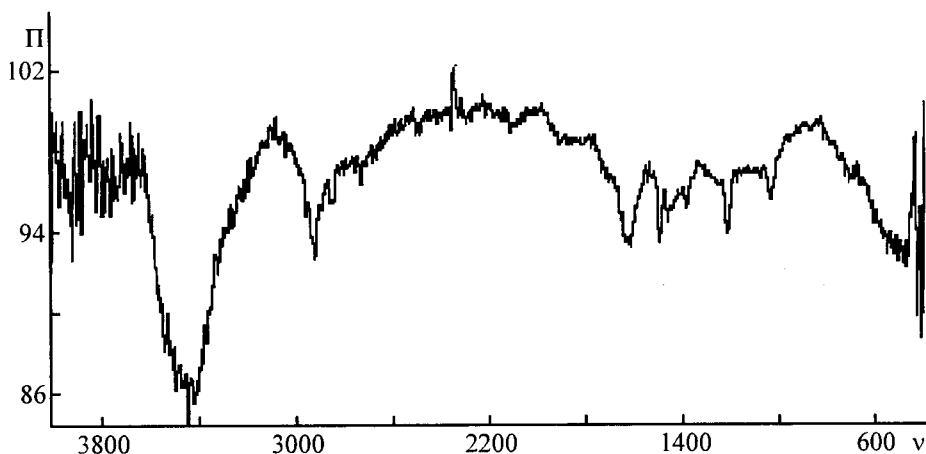


Рис.1. ИК Фурье-спектр ДХМ экстракта щелочной фракции окислительной деструкции ОМ ШП пероксодисульфатом аммония.

П – пропускание (%), ν – волновое число (cm^{-1}); то же для рис. 3, 4, 6, 8, 9.

Раствор и осадок без разделения 4 раза экстрагировали в делительной воронке хлороформом (4×50 мл). Объединенные хлороформные экстракты сушили над безводным $MgSO_4$, после чего хлороформ отгоняли из них на водяной бане. Окончательно полученный экстракт сушили в вакуумном шкафу в бюксе до постоянной массы. Выход хлороформного экстракта составил 0.10 мас% от ОМ ШП. Его химический состав был охарактеризован ИК Фурье-спектроскопией [10–13].

В ИК Фурье-спектре (рис. 1) ДХМ экстракта щелочной фракции пероксодисульфатного окисления ОМ ШП идентифицированы полосы поглощения (п.п.) следующих структурных фрагментов (ν , cm^{-1}):

- алканы ν_{CH_3} (2960.0, 2876.0); ν_{CH_2} (2921.9, 2848.6); ν_{CH} (третичный; 2896.9); δ_{-CH_2-} (1465.7); δ_{C-CH_3} (антисимметричные; 1450.0); $\delta_{C-(CH_3)_2}$ (1386.6–1380.0, 1370–1365.0); ρ_{CH_2} (750.0–713.5);
- алкены $\nu_{CH=CH-}$ (3047.2–3010.0); $\delta_{-CH=CH-}$ (внеплоскостные; 970.0–960.0); $\delta_{-CH=CH-}$ (плоскостные; 1310.0–1290.0); $\delta_{C=C}$ (несопряженные; 1680.0–1620.0); $\delta_{C=C}$ (сопряженные с бензольными кольцами; 1620.0);
- ароматические циклы ν_{C-H} (3030.0, 3047.2); $\nu_{C=C}$ (плоскостные колебания скелета; 1580.0, 1550.6, 1530.0, 1510.0, 1600.0); сопряженные кольца (1580.0, 1450.0, 1465.7); ароматические циклы, в основном конденсированные (1620.0, 1680.0, 1580.0–1550.6, 1550.6–1465.7);
- циклические ангидриды карбоновых кислот (1822.5, 1784.0); ν_{O-H} (фенолы, спирты; 3656.7–3595.0); ν_{O-H} (фенолы; 1216.9, 1410.0–1310.0); δ_{O-H} (первичные спирты; 1039.5, 1050.0, 1350.0–1260.0); δ_{O-H} (плоскостное; 1386.6); δ_{O-H} (внеплоскостное; 690.3, 650.0); карбоновые кислоты (3000.0–2500.0, 1620.0, 1465.7, 1386.6, 1300.0–1200.0); амиды кислот (3000.0–3251.7, 3265.2, 1620.0, 3411.8, 3442.6, 3465.8, 1216.9, 1280.0); кетоны (1730.0, 1720.0); простые алифатические

(1125.0), ароматические и арилалкиловые эфиры (1083.8–1039.4);

- пиррольные, индольные, пиридиновые, пиперидиновые, хинолиновые гетероциклы (3319.2–3384.7, 3367.4, 3490.8, 1465.7, 1498.5, 1216.9, 1280.0, 713.5, 750.0).

Методом ХМС (рис. 2) в составе данного экстракта идентифицированы: алканы гептадекан, октадекан, эйкозан, трикозан, тетракозан, гексакозан, гептакозан; алкены – 2,6,10,15,19,23-гексаметилтетракозагексаен-2,6,10,14,18,22.

В ИК Фурье-спектре остатка ацетонового экстракта кислотной фракции окислительной деструкции ОМ ШП пероксодисульфатом аммония (рис. 3) обнаружены п.п. следующих структурных фрагментов (ν , cm^{-1}):

- алканы ν_{CH_3} (2958.5, 2873.6); ν_{CH_2} (2925.7, 2854.4); $\delta_{C-H(-CH_2-)}$ (1465.0); $\delta_{C-H(C-CH_3)}$ симметричные; 1380.0–1370.0); $\rho_{-(CH_2)_4}$ (маятниковые; 750.0–720.0);
- алкены $\nu_{CH=CH-}$ (3031.8–3006.7); $\delta_{CH=CH-}$ (внеплоскостные; 979.7–960.4); $\nu_{CH=CH_2}$ (винил; 3093.5–3078.1, 3031.8–3006.7); $\rho_{-CH=CH_2}$ (сопряженная с бензольным кольцом; 1633.5);
- фенолы, спирты ν_{O-H} (несвязанная группа $-OH$; 3650.0–3590.0); внутримолекулярная водородная связь (3579.5–3444.5); хелатные соединения (3203.5–2500.0); δ_{O-H} и ν_{C-O} (первичные спирты; 1050.0, 1350–1260.0; 1236.2); фенолы ν_{O-H} (1236.2, 1410.0–1310.0); ароматические и другие простые эфиры с группой $=C-O-$ (1270.0–1236.2); насыщенные кетоны с открытой цепью ($-CH_2-CO-CH_2-$; 1728.0–1700.0); дикетоны (1633.5–1540.0); хиноны (1655.0–1633.5); карбоновые кислоты ($\nu_{C=O}$) – ненасыщенные алифатические (1728.0–1700.0), ароматические (1700.0–1728.0); насыщенные (1728.0–1717.0); ацетаты (1250.0–1236.2);
- пиррольные, индольные, пиридиновые, пиперидиновые, хинолиновые гетероциклы (3303.7–3384.7,

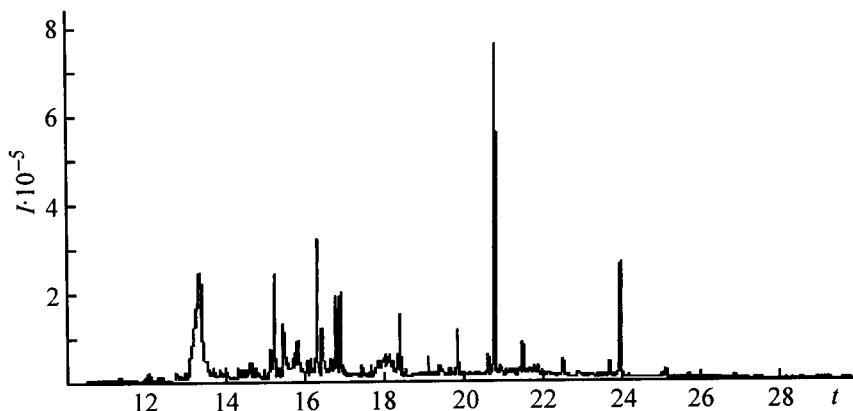


Рис. 2. Хроматограмма ДХМ экстракта щелочной фракции окислительной деструкции ОМ ШП пероксодисульфатом аммония.

I – интенсивность (мкВ), t – время (мин); то же для рис. 5, 7.

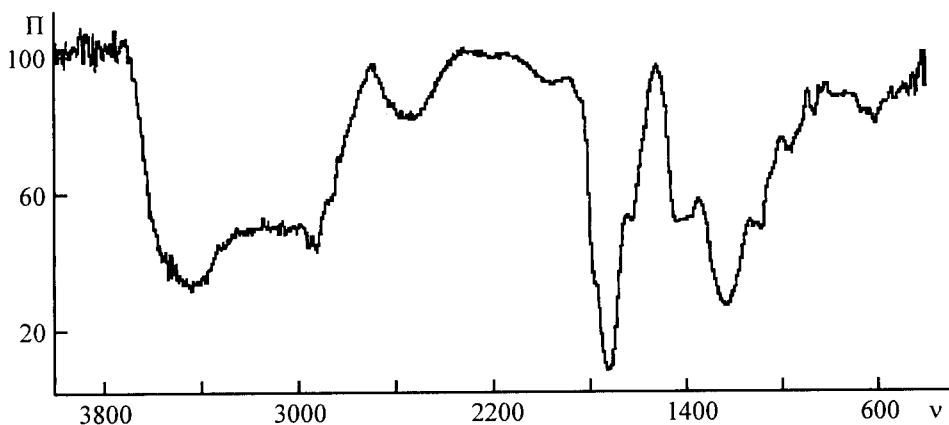


Рис. 3. ИК Фурье-спектр остатка ацетонового экстракта кислотной фракции окислительной деструкции ОМ ШП пероксодисульфатом аммония.

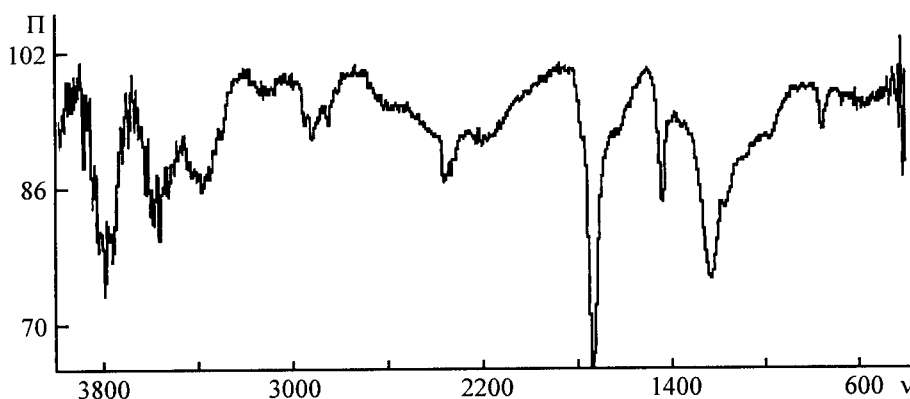


Рис. 4. ИК Фурье-спектр метилированного остатка ацетонового экстракта кислотной фракции окислительной деструкции ОМ ШП пероксодисульфатом аммония.

3323.0, 3475.4, 3498.5, 3006.7, 3031.8, 1633.5, 3054.9–3006.7, 1000.0–960.4, 1438.7, 1236.2, 744.4, 767.5); амиды ($\nu_{\text{N-H}}$) (3498.5, 3409.8) – первичные амиды, свободная группа $-\text{NH}_2$; (3172.6, 3350.0) – связанная группа $-\text{NH}_2$; вторичные амиды (3444.5–3409.8, 3323.0–3265.2, 3172.6–3134.0); серосодержащие группы $-\text{S}-\text{H}$ (2622.9–2541.9), $-\text{S}-\text{S}-$ (406.8–524.5), $-\text{SO}_2-\text{OH}$ (1085.7).

В ИК Фурье-спектре метилированного остатка ацетонового экстракта кислотной фракции окислительной деструкции ОМ ШП пероксодисульфатом аммония (рис. 4) идентифицированы п.п. следующих структурных фрагментов (ν , cm^{-1}):

– алканы ν_{CH_3} (2952.7, 2873.7); ν_{CH_2} (2923.8, 2850.5); δ_{CH_2} (1440.0); $\delta_{\text{C}-\text{CH}_3}$ (антисимметричные; 1450.0); $\delta_{\text{C}(\text{CH}_3)_2}$ (1359.6, 1380.0, 1370–1365.0); ρ_{CH_2} маятниковые; 752.0–720.0);

– алкены $\nu_{\text{CH}=\text{CH}}$ (3049.2–3010.0); $\delta_{\text{CH}=\text{CH}}$ (внеплоскостные; 983.5–960.0); $\delta_{\text{CH}=\text{CH}}$ (плоскостные; 1325.0–1290.0); $\delta_{\text{C}=\text{C}}$ (несопряженные; 1680.0–1630.0, 1645.1); $\delta_{\text{C}=\text{C}}$ (сопряженные с бензольными кольцами; 1630.0);

– ароматические циклы $\nu_{\text{C}-\text{H}}$ (3022.2, 3049.2, 3064.6, 3080.0), в основном конденсированные (1630.0, 1645.1, 1580.0–1560.0, 1440.6), замещенные алкильными цепями (1230.4, 1178.3, 1020.0, 1050.0); $\nu_{\text{C}=\text{C}}$ (плоскостные колебания скелета; 1580.0, 1560.0, 1440.6); $\delta_{\text{C}-\text{H}}$ (внеплоскостные; 725.1–720.0, 856.2–800.0, 900.0–856.2);

– спирты, фенолы $\nu_{\text{O}-\text{H}}$ (несвязанная $-\text{OH}$; 3647.1–3591.1); внутримолекулярная водородная связь (3568.0–3448.4); хелатные соединения (3195.7–2500.0); $\delta_{\text{O}-\text{H}}$ (фенолы; 1230.4, 1410.0–1310.0); $\delta_{\text{O}-\text{H}}$ и $\nu_{\text{C}-\text{O}}$ (первичные спирты; 1050.0, 1359.6–1230.4, 1260.0); ненасыщенные кетоны с открытой цепью ($-\text{CH}_2-\text{CO}-\text{CH}_2-$; 1280.0–1230.4); diketоны (1630.0–1540.0); хиноны (1645.1–1630.0); карбоновые кислоты ($\nu_{\text{C}=\text{O}}$) – насыщенные алифатические (1737.6–1700.0), ароматические (1700.0–1680.0); сложные эфиры ($\nu_{\text{C}=\text{O}}$) нормальные насыщенные (1750.0–1737.6), ненасыщенные (1737.6–1720.0), ацетаты (1260.0–1230.4);

– пиррольные, индольные, пиридиновые, пиперидиновые, хинолиновые, тиофеновые гетероциклы (3022.2, 3064.6–3000.9, 3000.9–3049.2, 1645.1, 3307.6–

3394.4, 3352.0, 3473.5, 3409.8, 1440.6, 1230.4, 752.1); первичные амины (3195.7, 3352.0, 3487.0, 3409.8); вторичные амины (3448.4–3409.8, 3320.0–3270.0, 3195.7–3126.3); серосодержащие группы –S–H (2621.0–2530.3), –S–S– (410.7–528.3).

Методом ХМС (рис. 5) в составе метилированного остатка ацетонового экстракта кислотной фракции окислительной деструкции ОМ ШП пероксодисульфатом аммония идентифицированы: алканы – додекан, тетрадекан, пентадекан, гексадекан, октадекан, эйкозан, докозан, тетракозан, гептакозан, октакозан; алкены – тетрадецен-1, гексадецен-1, октадецен-1, нонадецен-1, 2,6,10,15,19,23-гексаметилтетракозагексаен-2,6,10,14,18,22; циклоалканы – циклодекан; сложные метиловые эфиры предельных, непредельных карбоновых и поликарбоновых кислот – гексадекановой, 14-метилпентадекановой, октадецен-7-овой и октадецен-9-овой, тетраметильный эфир бензолтетракарбоновой и гексаметильный эфир бензолгексакарбоновой кислот.

В ИК Фурье-спектре метилированной ДХМ- Et_2O вытяжки из ацетонового экстракта кислотной фракции окислительной деструкции ОМ ШП пероксоди-

сульфатом аммония (рис. 6) идентифицированы п.п. (ν , cm^{-1}):

– алкены $\nu_{\text{C}=\text{C}}$ (3045.3–3001.0); $\delta_{\text{C}=\text{C}}$ (внеплоскостные; 983.5–960.0); $\delta_{\text{C}=\text{C}}$ (плоскостные; 1320.0–1290.0);

– ароматические $\nu_{\text{C}=\text{H}}$ (3031.8), в основном конденсированные (3031.8–3080.0, 1643.1, 1442.5, 1178.3–1100.0, 720.0–757.9), нафтеновые (2925.7, 2954.6, 1442.5, 983.5) и ароматические циклы (720.0–825.4) – плохо разрешенный триплет;

– фенольные и спиртовые (3633.6–3580.0, 3211.2–3250.0, 1410.0–1310.0, 1242.0–1178.3), хиноидные (1643.1, 1660.0, 1680.0); кетонные (1720.0–1739.6, 1178.3); карбоксильные группы алифатических и ароматических кислот (1705.0–1739.6, 3580.0–3500.0, 3519.8, 3546.8, 1800.0–1739.6, 1359.6–1242.0, 1080.0–1178.3);

– пиррольные, индольные, пиридиновые, хинолиновые, фурановые гетероциклы (3170.0–3134.0, 1560.0, 1410.0–1310.0, 1178.3–1242.0, 720.0, 757.9, 825.4, 3300.0–3355.8, 3431.0, 3473.5, 1411.7); сопряженные пиррольные циклы порфиринов, хлорофиллов

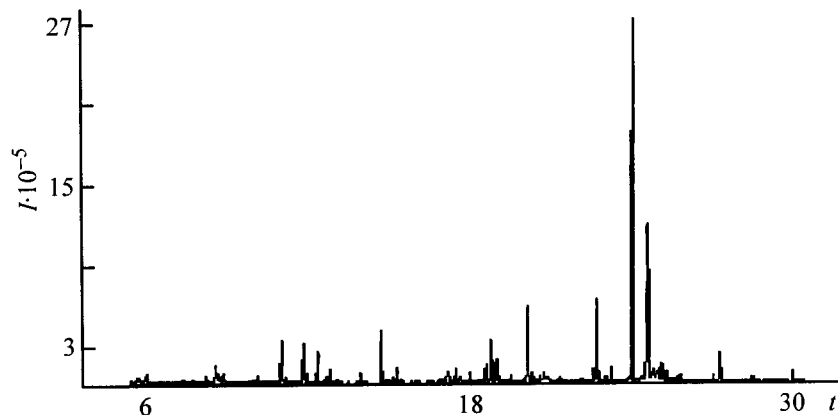


Рис. 5. Хроматограмма метилированного остатка ацетонового экстракта кислотной фракции окислительной деструкции ОМ ШП пероксодисульфатом аммония.

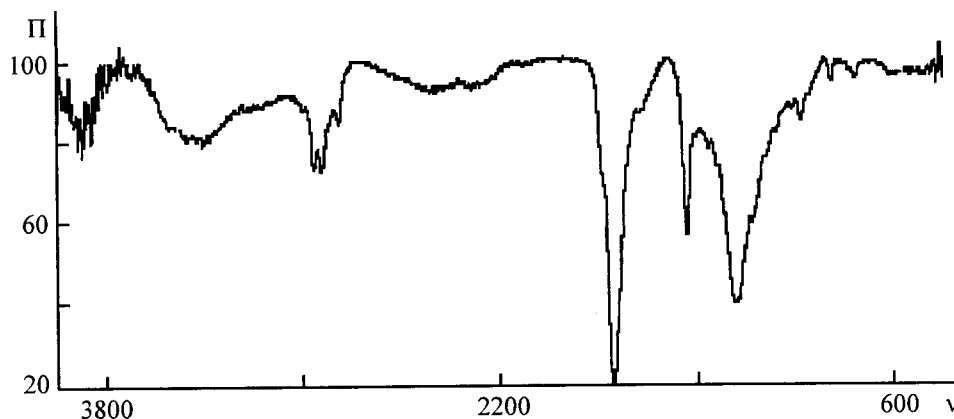


Рис. 6. ИК Фурье-спектр метилированной ДХМ- Et_2O вытяжки из ацетонового экстракта кислотной фракции окислительной деструкции ОМ ШП пероксодисульфатом аммония.

(3519.8, 3487.0, 3134.0, 3045.3, 1560.0, 1018.2, 700.0–757.9); сульфиды и дисульфиды (1411.7, 1359.6, 588.1, 472.4, 451.2, 428.0).

Методом ХМС (рис. 7) в составе метилированной ДХМ- Et_2O вытяжки из ацетонового экстракта кислотной фракции окислительной деструкции ОМ ШП $(\text{NH}_4)_2\text{S}_2\text{O}_8$ идентифицированы: алканы – додекан, тетрадекан, гексадекан, октадекан, эйкозан, тетракозан, гептакозан, нонакозан; сложные метиловые эфиры моно-, ди- и поликарбоновых кислот – тетрадекановой, гексадекановой, диметиловые эфиры пропандиовой и бутандиовой кислот, тетраметиловый эфир тиофентетракарбоновой кислоты, гексаметиловый эфир бензолгексакарбоновой кислоты.

В ИК Фурье-спектре метилированного хлороформного экстракта продуктов окисления ОМ ШП (рис. 8) 50%-ной HNO_3 идентифицированы п.п. следующих структурных фрагментов (ν , cm^{-1}):

– алканы ν_{CH_3} (2948.9, 2889.1); ν_{CH_2} (2920.0, 2848.6); δ_{CH_2} (1459.9); $\rho_{(\text{CH}_2)_n}$ (775.2);

– алкены $\nu_{-\text{CH}=\text{CH}-}$ (3060.7–2995.9); $\delta_{-\text{CH}=\text{CH}-}$ (внеплоскостные; 979.7); $\delta_{-\text{CH}=\text{CH}-}$ (плоскостные; 1310.0–

1290.0); $\delta_{\text{C}=\text{C}}$ (несопряженные; 1680.0–1606.5, 1637.3); – ароматические кольца ($\nu_{\text{C}-\text{H}}$), в основном конденсированные (3000.0, 3060.7, 3024.1); $\delta_{\text{C}-\text{H}}$ (внеплоскостные; 775.2, 842.7); нафтеновые (2920.0, 2948.9, 1459.9, 979.7) и гидроароматические циклы (775.2, 842.7, 979.7);

– фенолы, спирты (3635.5–3583.4, 3247.8–3203.5, 1410.0–1310, 1220.7–1089.6), $\delta_{\text{O}-\text{H}}$ (спирты; 1419.4–1371.2, 1089.6); хиноны (1637.3, 1680.0); кетоны (1735.7, 1180.0); кислоты алифатические и ароматические (1735.7–1700.0, 3583.4–3500.0, 3514.0, 3521.7, 3529.4, 3566.0, 3583.4, 1800–1735.7, 1371.2–1220.7, 1220.7–1089.6);

– сложные эфиры ($\nu_{\text{C}=\text{O}-\text{O}-}$) ацетатной группы, сопряженной с бензольным кольцом (1750.0–1735.7); простые эфиры $\nu_{\text{C}-\text{O}-\text{C}}$ (симметричное; 1089.6) и $\nu_{\text{C}-\text{O}-\text{C}}$ (асимметричное; 1220.7);

– пиррольные, индольные, хинолиновые, фурановые гетероциклы (3180.0–3105.1, 1580.0, 1410.0–1310.0, 1220.7–1089.6, 3379.0–3307.6, 3431.0, 3425.3, 3465.8, 3485.0, 1419.4, 1459.9); сопряженные пиррольные циклы порфиринов, хлорофиллов (3514.0, 3521.7, 3485.0, 3105.1, 3060.7, 3024.1, 1560.0, 1220.7, 700.0–775.2);

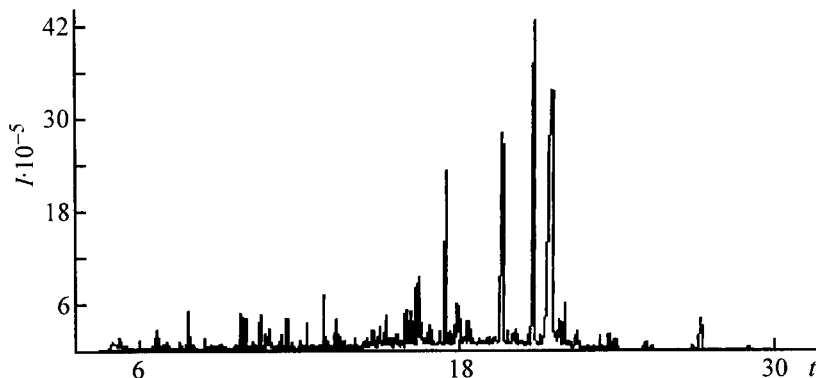


Рис. 7. Хроматограмма метилированной ДХМ- Et_2O вытяжки из ацетонового экстракта кислотной фракции окислительной деструкции ОМ ШП пероксодисульфатом аммония.

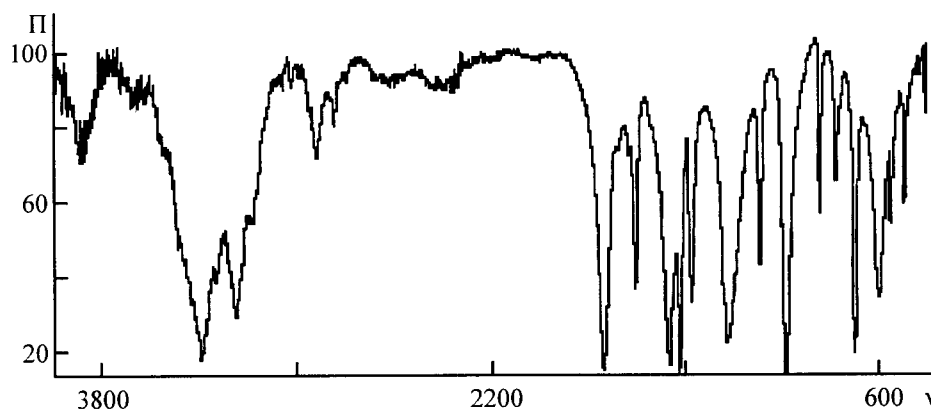


Рис. 8. ИК Фурье-спектр метилированного хлороформного экстракта окислительной деструкции ОМ ШП азотной кислотой.

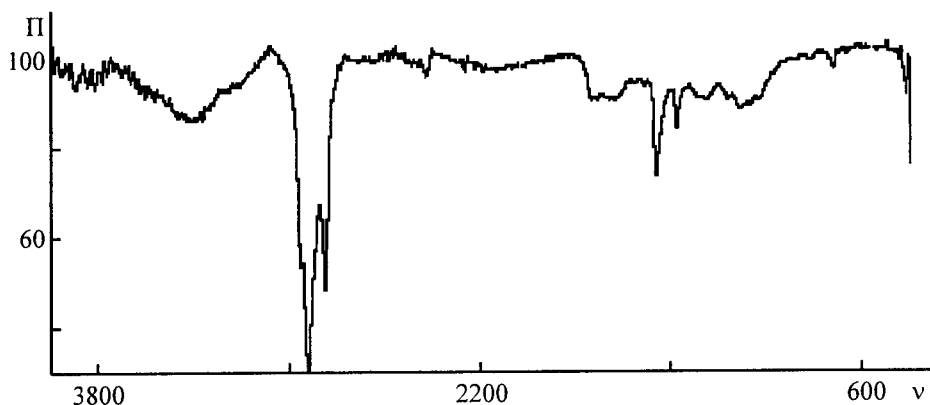


Рис. 9. ИК Фурье-спектр хлороформного экстракта окислительной деструкции ОМ ШП перманганатом калия в щелочной среде.

сульфиды и дисульфиды (1419.4, 1459.9, 1371.2, 593.9, 696.1, 491.7, 441.5, 426.1).

Методом ХМС в рассматриваемом экстракте продуктов окисления ОМ ШП 50%-ной азотной кислотой идентифицированы: эйкозан, пентакозан, октакозан, метиловый эфир гексадекановой кислоты, 2-метил-7-фенилиндол, 1,1-дициано-2-метил-4-(*n*-цианофенил)-пропен.

В ИК Фурье-спектре хлороформного экстракта продуктов окисления ОМ ШП щелочным раствором перманганата калия (рис. 9) обнаружены п.п. следующих структурных фрагментов (ν , см^{-1}):

– алканы $\nu_{\text{CH}_3}^{\text{a.s}}$ (2960.0); $\nu_{\text{CH}_2}^{\text{s}}$ (2865.0); $\delta_{\text{CH}_3}^{\text{a.s}}$ (1461.8); $\delta_{\text{CH}_2}^{\text{s}}$ (1377.0); $\nu_{\text{CH}_2}^{\text{a.s}}$ (2921.9); $\nu_{\text{CH}_2}^{\text{s}}$ (2850.5); CH_2 (ножничное; 1461.8); маятниковые колебания $\rho_{-(\text{CH}_2)_n}$ (728.9, 719.3);

– ароматические циклы (3030.0, 3060.0, 3097.4, 1540.9, 1506.2, 1558.3, 1654.7);

– спирты, фенолы (3583.4–3515.9); $\nu_{\text{C-O}}$ (фенольный; 1220.0, 1261.2); $\nu_{\text{O-H}}$ (спирт; 1040.0); $\delta_{\text{O-H}}$ (1261.2); хиноны (1654.7–1680); diketоны (1710.6); карбоновые кислоты (3010.0–2500.0, 1710.6, 1461.8, 1300.0–1200.0);

– пиррольные, индольные, пиридиновые, хинолиновые гетероциклы (3328.8–3369.3, 3413.7, 3433.0, 3467.7, 1461.8, 1377.0, 1377.0–1261.2, 719.3, 728.9).

Выводы

1. Обобщение всего комплекса полученных данных позволяет сделать вывод, что каждый из окислителей вызывает образование продуктов достаточно сложного состава, среди которых доминируют карбоновые кислоты, спирты, фенолы, кетоны и хиноны. Наряду с этими соединениями идентифицированы *n*-алканы, алкены и циклоалканы.

2. Можно предположить, что углеводороды, особенно алканы и алкены, а также алифатические предельные и непредельные карбоновые кислоты, идентифицированные хромато-масс-спектрометрией в метилированных экстрактах, являются соизвлеченными из сетчатой матрицы макромолекулы шунгита, т.е. компонентами подвижной фазы, отражающей липидный состав древних одноклеточных водорослей. Обнаружение бензолтетра- и бензолгексакарбоновой кислот указывает на высокую степень конденсации органической массы шунгитовой породы, при окислительной деструкции которой данные кислоты могли образоваться из пиреновых, короненовых и фуллереновых фрагментов ее макромолекулярной сетки.

3. Согласно полученным данным отдельные высококонденсированные ароматические фрагменты предположительно связаны между собой полиметиленовыми, циклоалкановыми, индольными, фурановыми, тиофеновыми и другими мостиками.

Список литературы

- [1] Препаративная органическая химия / Под ред. Н.С.Вульфсона. М.: ГНТИХЛ, 1959. 888 с.
- [2] Hayatsu R., Winans R., Scott R.G. et al. // Fuel. 1978. V. 57. N 9. P. 541–548.
- [3] Studier M.H., Hayatsu R., Winans R. // Anal. Meth. Coal a. Coal Products. 1978. V. 2. P. 43–75.
- [4] Hayatsu R., Winans R., Scott R.G. et al. // Fuel. 1981. V. 60. № 1. P. 77–82.
- [5] Mayo F.R. // Fuel. 1975. V. 54. N 10. P. 273–275.
- [6] Heard J., Senftle F.E. // Fuel. 1984. V. 63. N 2. P. 221–226.
- [7] Шишков В.Ф., Рандин О.И., Тутурин В.В. // ХТТ. 1987. № 3. С. 44–48.
- [8] Olson E.S., Diehl J.W., Frochlich M.L. // Fuel. 1987. V. 66. N 7. P. 968–972.

- [9] *Hayatsu R., Scott R.G., Botto R.E.* // *Fuel*. 1986. V. 65. N 7. P. 901-908.
- [10] *Миронов В.А., Янковский С.А.* Спектроскопия в органической химии. М.: Химия, 1985. 232 с.
- [11] *Наканиси К.* Инфракрасные спектры и строение органических соединений: Практик. руководство. М.: Мир, 1965. 216 с.
- [12] *Сильверстейн Р., Басслер Г., Морил Т.* Спектроскопическая идентификация органических соединений. М.: Мир, 1977. 590 с.
- [13] *Казыцина Л.А., Куплетская Н.Б.* Применение УФ, ИК, ЯМР и масс-спектропии в органической химии. М.: МГУ, 1979. 264 с.
- [14] *Чепмен Дж.* Практическая органическая масс-спектрометрия. М.: Мир, 1988. 216 с.
-